速いリコネクションから 遅いリコネクションへの 連続遷移と構造変化

新田 伸也 (電気通信大学/国立天文台)

MHDシミュレーションで仮定される 10^6×Spitzer抵抗 (Rem*~10)は 本当に実現されるのか?



高磁気レイノルズ数 (Rem*>>10)でのリコネクションとは?(← シミュレーションは困難)

解析的に調べてみよう!

何がリコネクション レイトを決めるのか?

説1)境界条件 外部環境が支配的

外部駆動型リコネクション

Petschek, Vasyliunas, Sato&Hayashi, Priest&Forbes, etc.

説 2) 拡散領域 システム自身が支配的 自発的リコネクション Ugai&Tsuda, etc.

新説) アウトフロー領域 システム自身が支配的 自発的リコネクション

素過程としてのリコネクションの 理解はまだ不十分!

天体リコネクションの特徴

巨大なダイナミックレンジで拡大

例)太陽フレア

初期:電流シート厚み~10^0 [m]

終期:磁気ループ幅~10^7 [m]



- ・本質的に時間依存
- ・広大な空間での自由な自発的発展

従来のモデルでは記述できない!

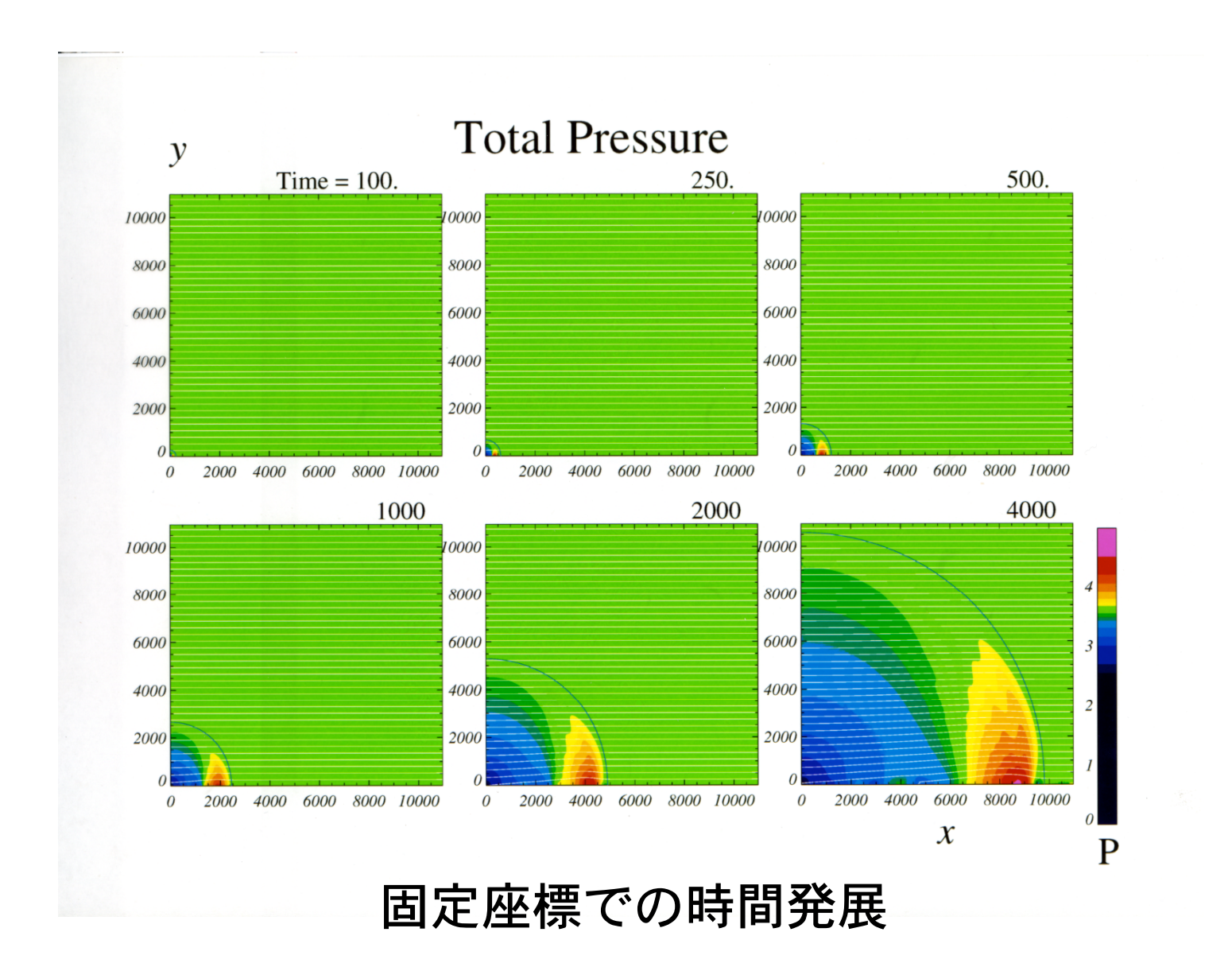
本研究の目的

天体リコネクションモデルとして ふさわしい新しいモデルの構築



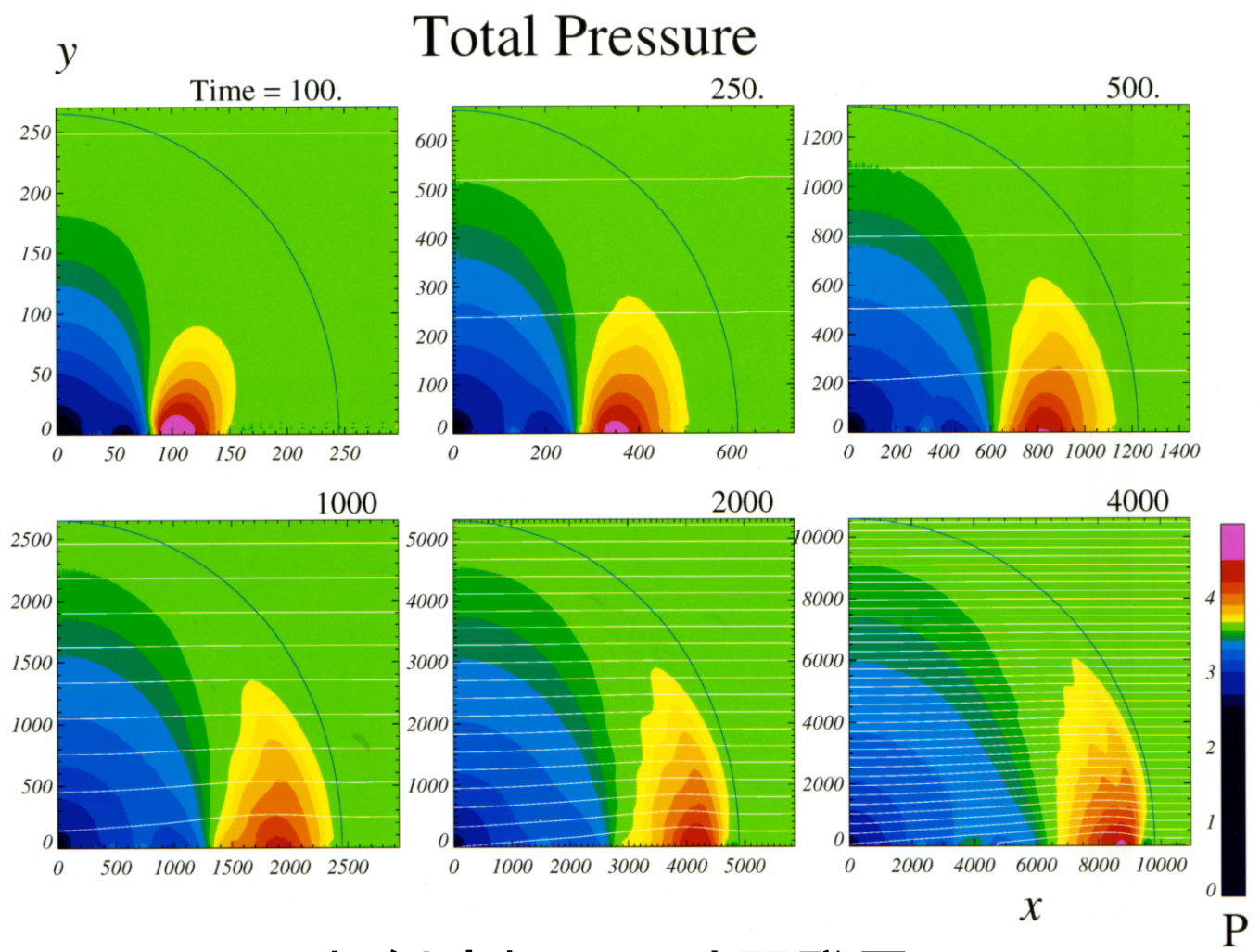
自己相似時間発展モデル

MHDシミュレーション



形を保って拡大しているように見える

Zoon-outしながら再プロット



相似座標での時間発展

たしかに相似座標で定常解に漸近

→ 自己相似的拡大

研究方法

天体現象の素過程としての 2D-MHDリコネクション・モデル

アウトフロー領域:衝撃波管近似

(Newton=Raphson法: Nitta 04、06a)

+

インフロー領域: Grad=Shafranov法 (SOR法: Nitta et al. 02)



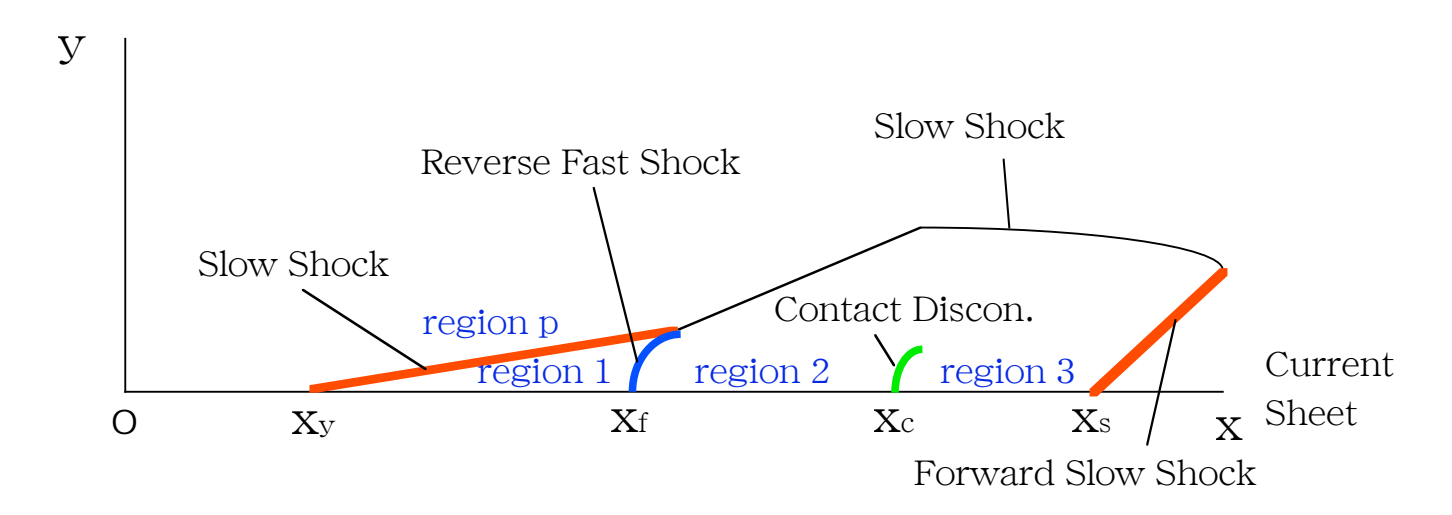
自己相似時間発展モデル

- ・ β 値-依存性 (Nitta 04)
- ·磁気Reynolds数-依存性(Nitta 06a、今回)

Rem* = Alfven速度/磁気拡散速度

(注:通常の磁気レイノルズ数より7桁小さい)

アウトフロー領域



衝擊波管近似

各不連続を跨いでの接続条件 (23個の未知量と22元非線形連立代数方程式) →未知量の1つを手で与える



Newton=Raphson法で解く



- 各不連続両側の全ての物理量
- 各不連続の配置



インフロー領域(G-S方程式)の境界条件

- ・最大の仮定: Petschek-type slow shockが常に存在する
- ・理想MHD領域での電場(V×B)を求めると、 磁気拡散速度が求まる ⇒ 磁気レイノルズ数

インフロー領域

(Nitta et al. 2002の方法)

線形近似でのGrad=Shafranov法

0次:初期平衡(カレントシート)

1次:リコネクションによる変化

+

Zoom-Out座標系でのMHD方程式系



インフロー領域の1次量に関する 2 階PDE(Grad=Shafranov方程式)

←アウトフロー領域との境界条件



SOR法で解く



インフロー領域の物理量

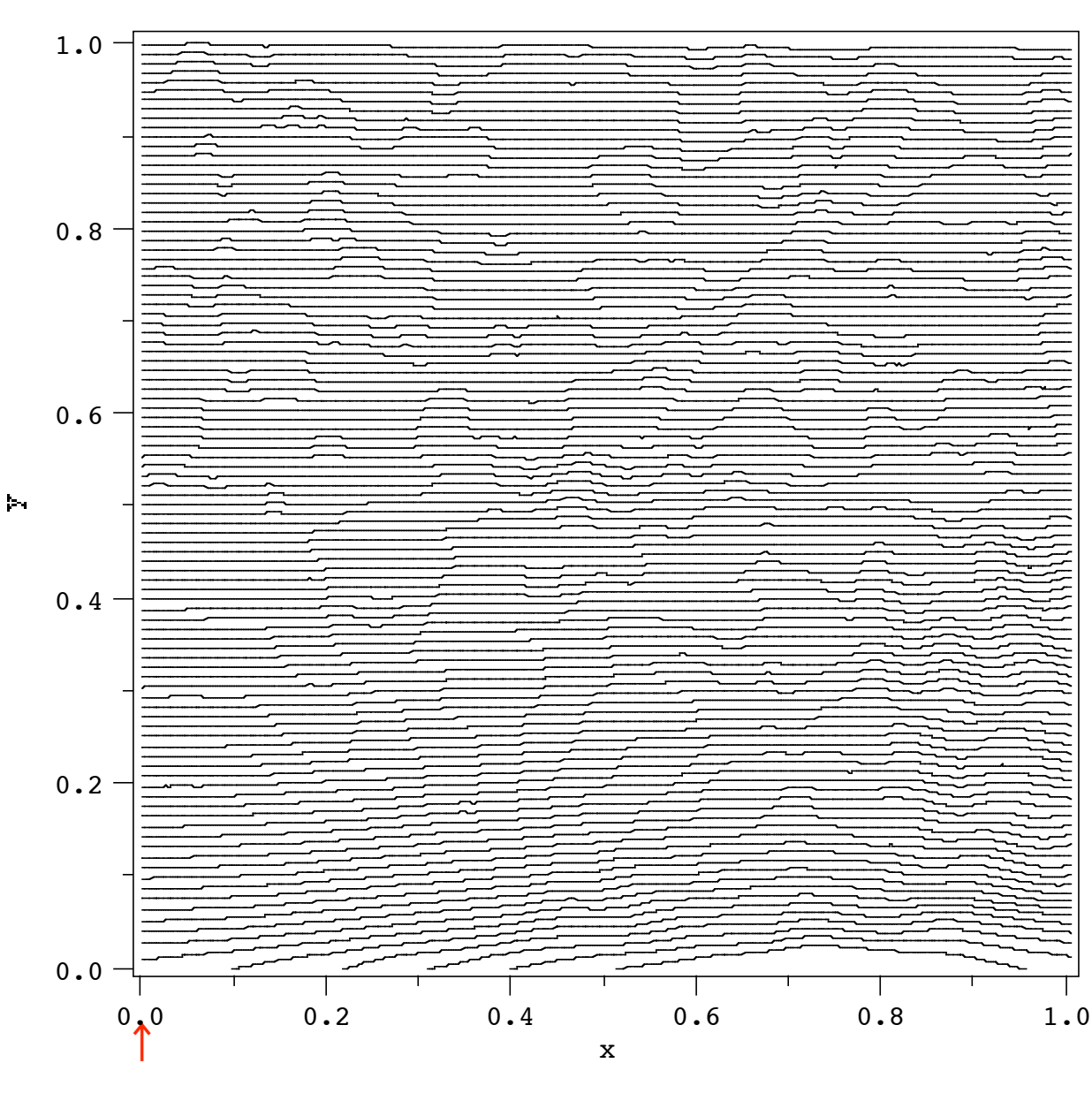
解の変遷 (β=0.01)

Petschek type

Rem*=15.63

inflow領域 の磁力線 xy=0.

R=0.0504



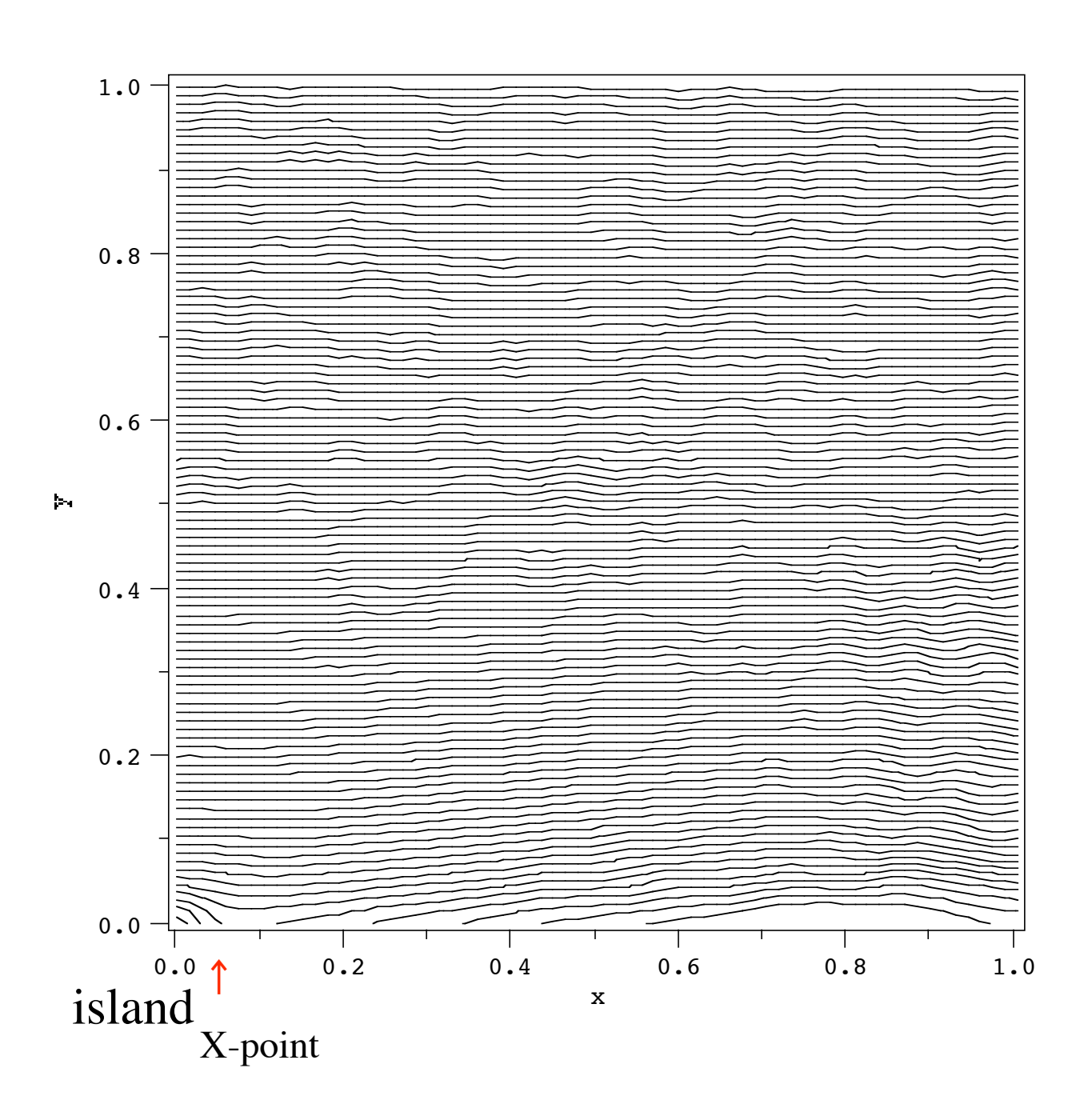
X-point

X-O-X type

Rem*=16.88

xy = 0.048

R=0.0489



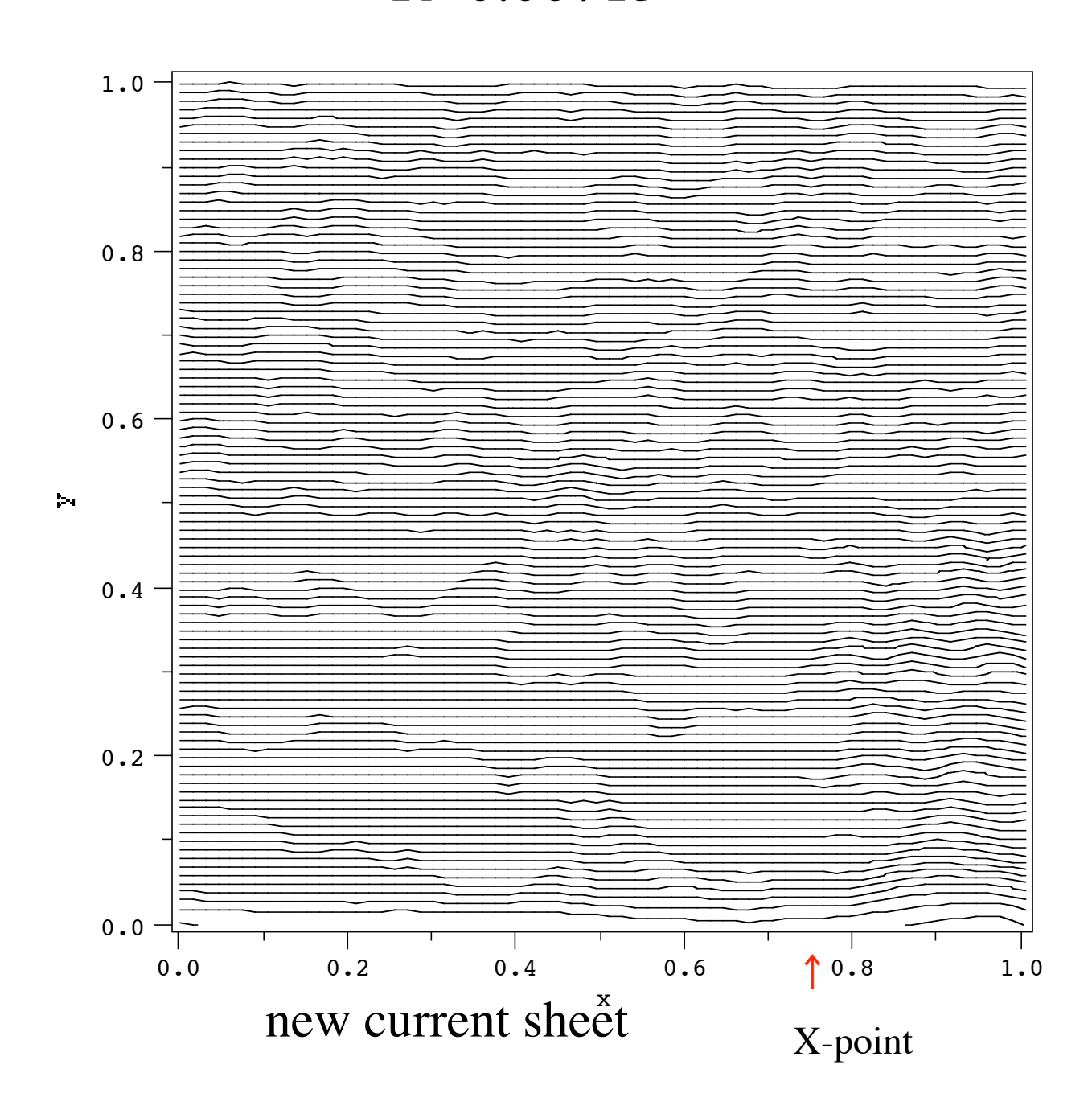
Sweet-Parker type

(collapsed island+double Y-point)

Rem*=139.8

xy = 0.75

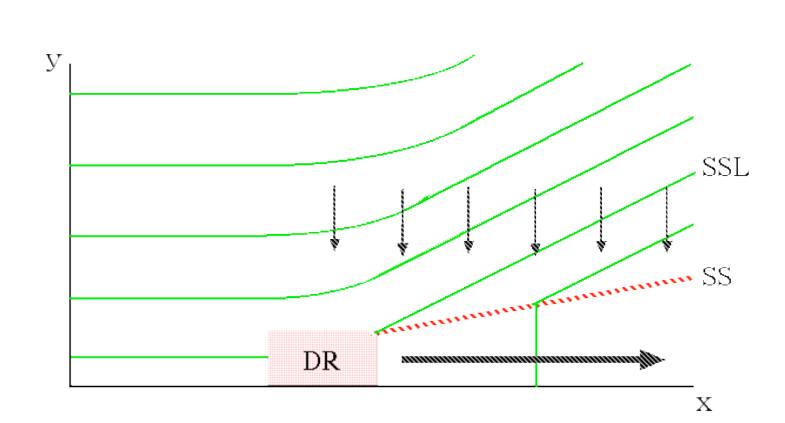
R=0.00713



リコネクションレイト

固定座標

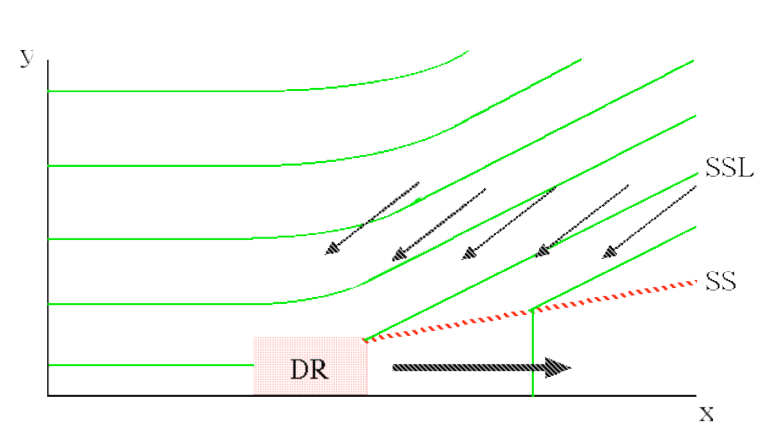
真下に流入

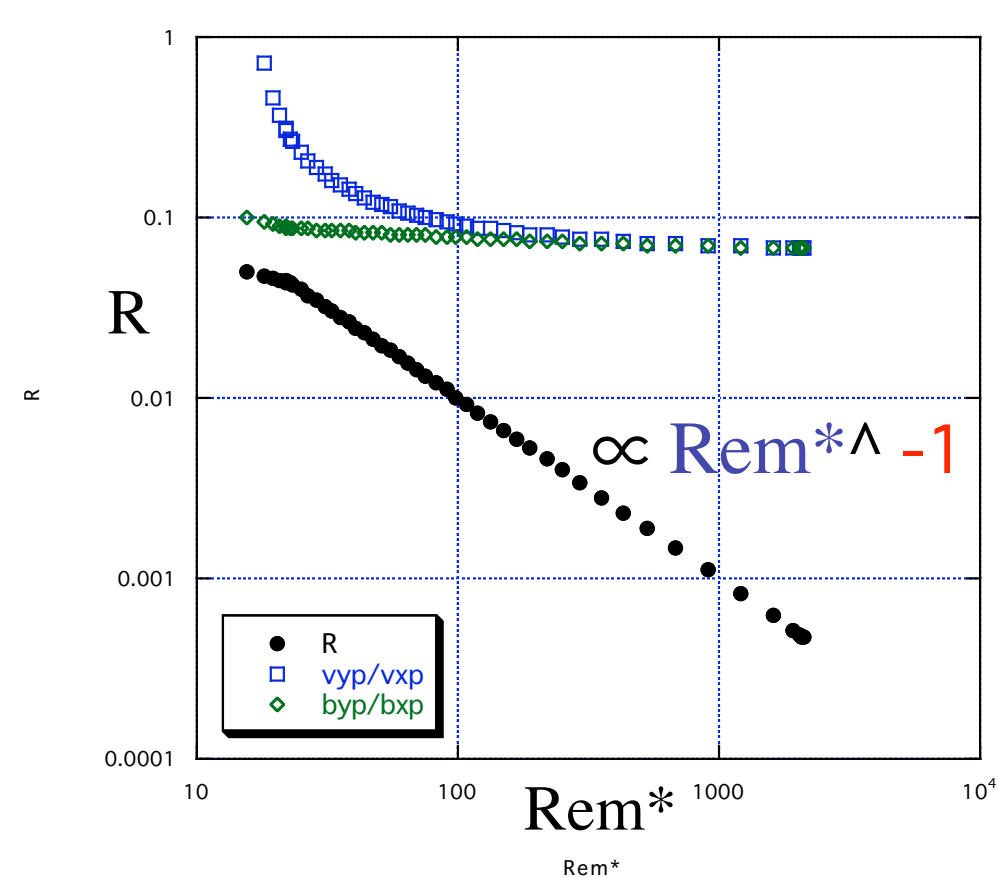


相似座標

リコネクション点 に斜めに流入

V×B減少





 $R \neq V_{in}/V_{A0}$

~ 0.06

磁気エネルギー変換率

island/カレントシートが残る

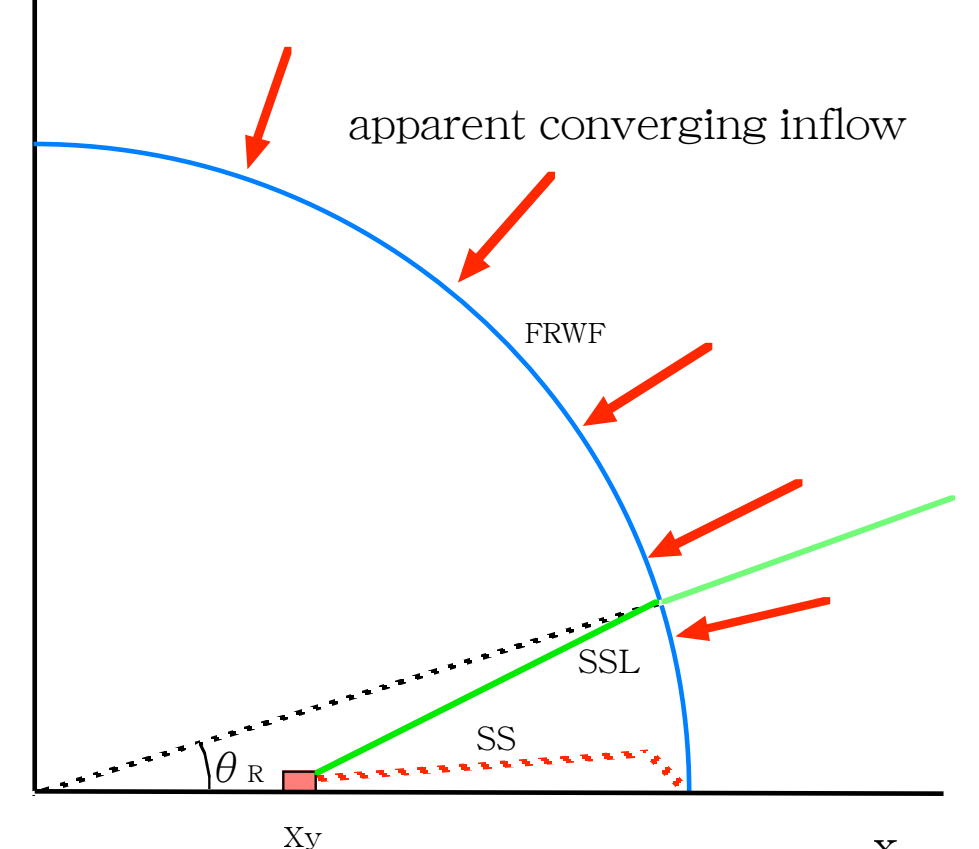
Ţ

磁気エネルギーの一部のみ解放される

変換率

f≡解放される磁気エネルギー/元の カレントシートの磁気エネルギー

seen in the Zoom-out coordinate

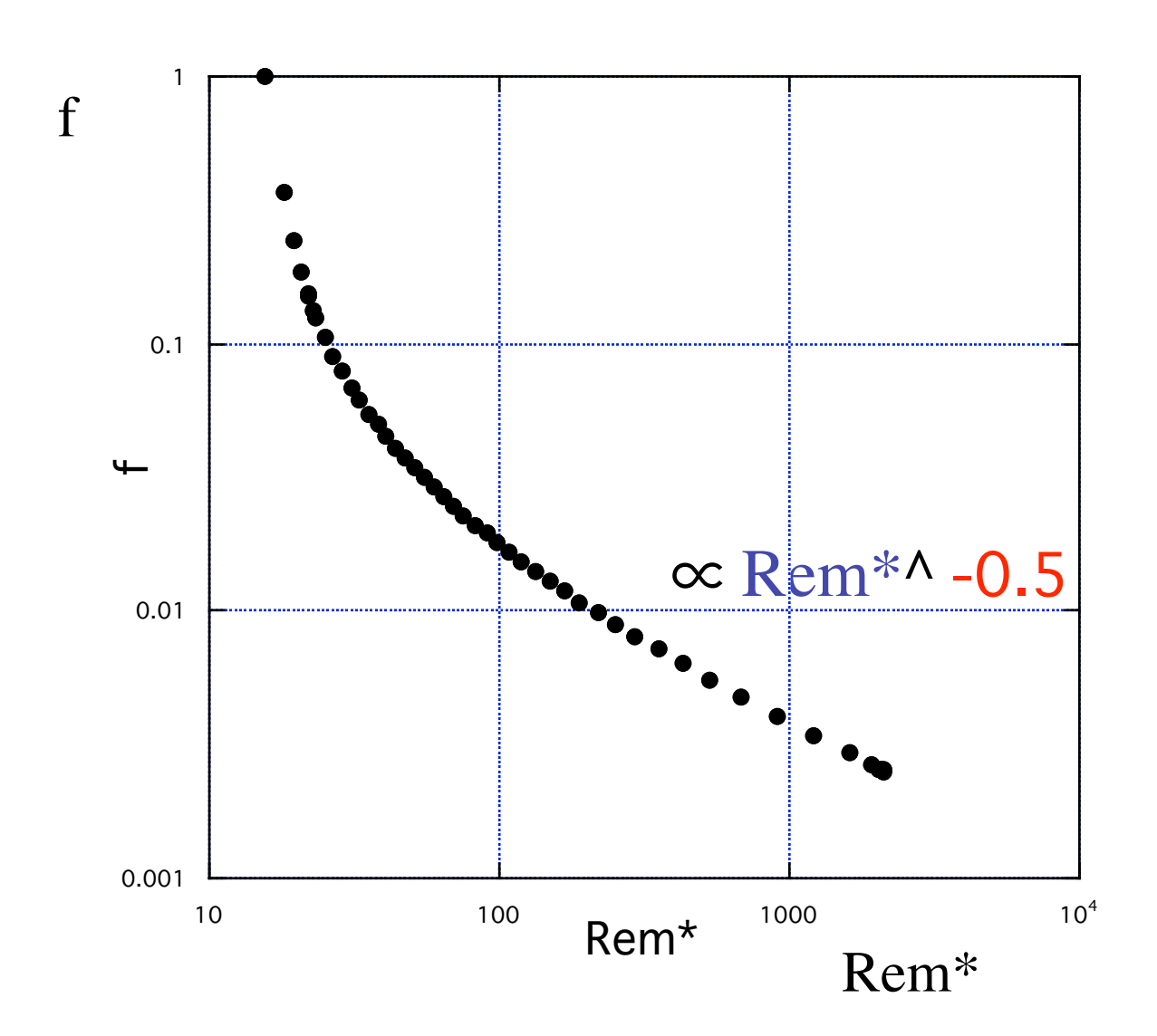


$$\therefore f = \theta_R/(\pi/2^x)$$

У

磁気エネルギー変換率

1発のリコネクションで解放できる磁気エネルギーの割合



まとめ

自己相似時間発展モデル

Rem*~15-2200 (Spitzer抵抗の 10^3-10^6倍) でのシステムの 応答を解析的に調べた



FastからSlow regimeへの連続遷移

- ・構造の変化 (single-X → X-O-X → double-Y)
- · Rec. Rate減少
- ・エネルギー解放できる割合減少



- ・Rec. Rateの観測的見積もり時の注意
- ・ナノ/マイクロ フレアとの関連
- ・多重連発リコネクション
 - →コロナ加熱

Rec. rateの観測的見積もり への提言

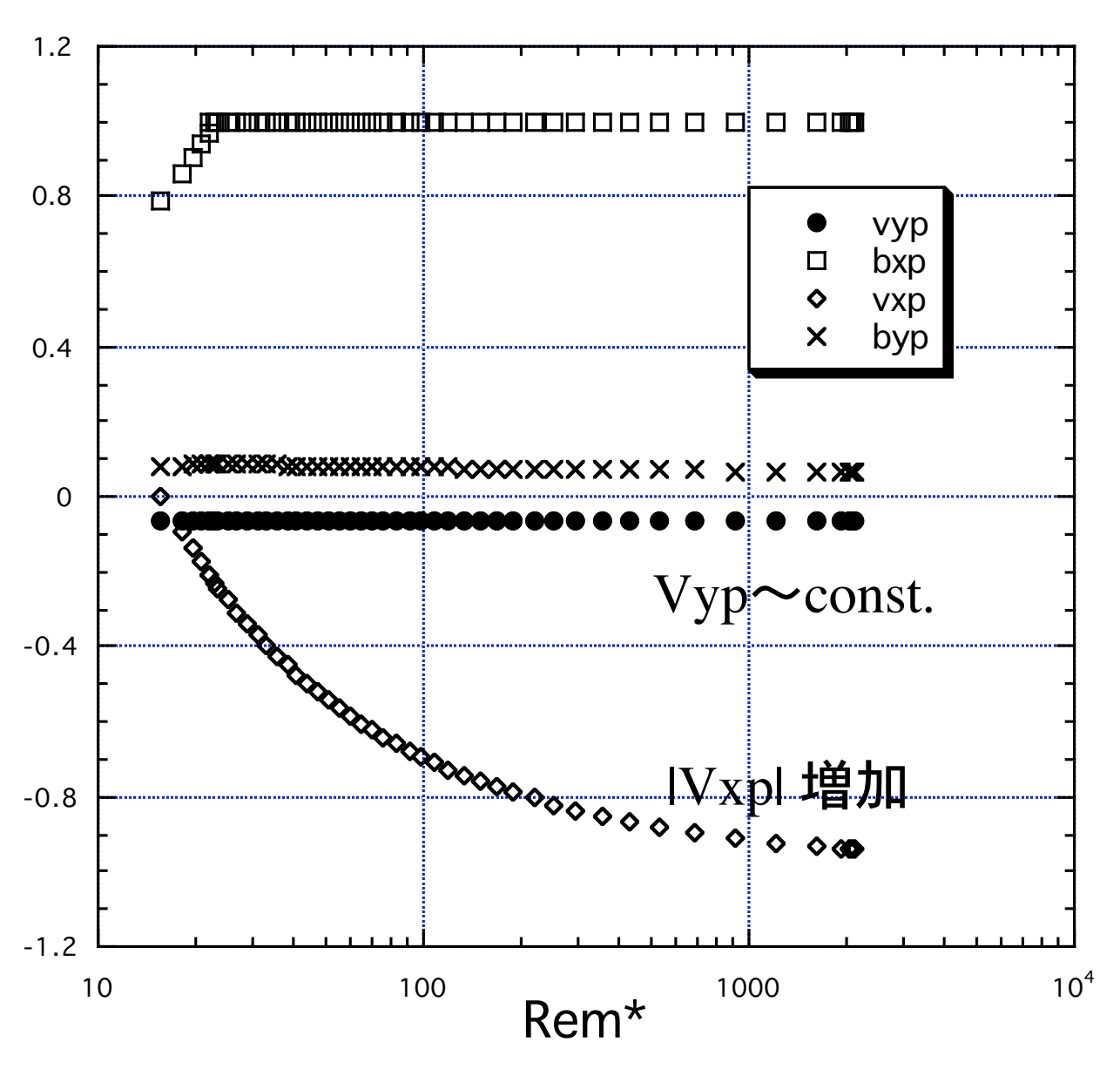
 $R \equiv |\mathbf{v} \times \mathbf{B}| / (V_{A0} B_0)$

・Rec. pointが静止している時 (v:vertical, **B**:horizontal, |**B**| ~ B₀) R ~ |v|/V_{A0} (Alfven Mach num.)

・Rec. pointが動く時は要注意!
(Apparent converging inflow)
⇒ vとBは平行に近づく!
⇒ R 減少

 $R \neq Alfven Mach num.$

諸量の Rem* 依存性



 $Vyp \sim -0.063 \sim const.$

しかし

 $R \propto Rem^* \wedge -1$